

ارزیابی مقایسه‌ای متاپولیسم کندروسیت‌های مفصلی، تحت شرایط مختلف فشار جزئی اکسیژن و pH بر روی دو داربست زیست تخریب‌پذیر پلی‌یورتان و آلتینات

دکتر سعید کرباسی*

* استادیار گروه فیزیک و مهندسی پزشکی، دانشکده پزشکی، دانشگاه علوم پزشکی اصفهان، اصفهان، ایران.

تاریخ دریافت: ۸۷/۶/۱۰

تاریخ پذیرش: ۸۷/۱۲/۱۸

چکیده

غضروف بافتی بدون رگ است که توانایی پایینی در خودترمیمی دارد و یکی از روش‌های ترمیم آن، بهینه کردن عوامل فیزیکوشیمیایی مؤثر بر روی سیستم داربست سلول می‌باشد. سیستم داربست سلول، سیستم مهندسی شده‌ای است که می‌تواند با کنترل عوامل مختلف فیزیکی و بیوشیمیایی در عملکرد سلول و رشد بافت جدید تأثیر بگذارد؛ علاوه بر آن که انتخاب نوع داربست نیز می‌تواند در فرآیند متاپولیسم سلولی و تشکیل بافت جدید تأثیرگذار باشد.

در این تحقیق، پس از جداسازی کندروسیت‌های مفصلی از مفصل پای گوساله‌های ۶-۹ ماهه، تأثیر دو عامل فیزیکوшیمیایی یعنی فشار جزئی اکسیژن و pH بر میزان تولید و نرخ تولید لاکتیت بعد از ۱، ۲ و ۳ روز کشت سلولی و تولید گلایکوسامینوگلایکن (GAG) glycosaminoglycan یا BPUS (BPUS) و آلتینات بررسی و مقایسه شد. سلولی کندروسیت‌ها بر روی داربست زیست تخریب‌پذیر پلی‌یورتان (BPUS) و آلتینات باعث تغییر میزان لاکتیت و GAG تولید شده و در نتیجه تغییر متاپولیسم کندروسیت‌ها شود. بهترین شرایط متاپولیسم بر روی هر دو داربست در فشار جزئی ۵٪ اکسیژن و pH=۷/۴ حاصل شد ($P < 0/001$). مقایسه نتایج بین داربست BPUS و آلتینات نشان داد که متاپولیسم سلولی تحت شرایط بهینه، بر روی داربست آلتینات بهتر از BPUS می‌باشد ($P < 0/001$).

تغییرات فشار جزئی اکسیژن و pH، می‌تواند باعث تغییر حجم سلول و در نتیجه تغییر در مکانیزم انتقال مواد مغذی به داخل و خارج از سلول گردد. بنابراین، بهینه‌سازی شرایط فشار جزئی اکسیژن و pH می‌تواند باعث بهینه شدن فرآیند glycolysis در غضروف شود. از طرف دیگر، آبدوستی بیشتر آلتینات نسبت به BPUS می‌تواند سبب توزیع بهتر و تعذیه‌ی مناسب‌تر سلول‌ها در شرایط مختلف فیزیکوшیمیایی شود؛ چرا که این آبدوستی موجب انتقال بهتر مواد مغذی به سلول‌ها شده، عاملی برای بهتر بودن متاپولیسم سلول‌ها بر روی آلتینات می‌گردد.

کندروسیت‌ها، عوامل فیزیکوшیمیایی، پلی‌استر یورتان، آلتینات، مهندسی بافت**مقدمه:****روش‌ها:****یافته‌ها****نتیجه‌گیری:****واژگان کلیدی:**

تعداد صفحات:

تعداد جداول:

تعداد نمودارها:

تعداد منابع:

آدرس نویسنده مسئول:

دکتر سعید کرباسی، استادیار گروه فیزیک و مهندسی پزشکی، دانشکده پزشکی، دانشگاه علوم پزشکی اصفهان، اصفهان، ایران.
E-mail: karbasi@med.mui.ac.ir

مقدمه

فرآیند glycolysis و در نتیجه متابولیسم سلول‌های کندروسیت را افزایش داد. مشاهدات نشان داده است که میزان غلظت اکسیژن موجود در سطح غضروف ۷/۶-۵/۷ میلی‌متر جیوه و در عمق آن کمتر از ۴۵-۵۷ میلی‌متر جیوه می‌باشد. در حالی که pH خارج سلولی بین ۶/۸ تا ۷/۱ قرار دارد (۱۳-۱۴). تحت چنین شرایط فیزیولوژیکی، غضروف توانایی پایینی در ترمیم خود دارد (۱۵). یکی از روش‌های مناسب برای بازسازی آسیب‌های غضروفی، استفاده از داربست سه بعدی، به عنوان بستری برای متابولیسم سلول‌های کندروسیت می‌باشد (۲۰-۱۶). مطالعات انجام شده بر روی داربست‌های مختلف، تحت شرایط فیزیولوژیک یکسان، نشان داده است که متابولیسم کندروسیت‌ها بر روی هر داربست متفاوت است (۲۱). این به آن معنی است که نوع داربست، به عنوان یکی از عوامل اصلی در مهندسی بافت، می‌تواند متابولیسم سلولی را تحت تأثیر قرار دهد. یکی از انواع داربست‌هایی که به تازگی در مهندسی بافت غضروف مفصلی کاربرد پیدا کرده است، پلیمری با نام تجاری DegraPol® یک داربست پلی‌یورتانی زیست تخریب‌پذیر (BPUS) می‌باشد (۲۴-۲۲). BPUS یک پلی‌مر الاستیک، زیست تخریب‌پذیر و بسیار زیست سازگار است (۲۵). این پلی‌مر، یک کوپلی‌استر بلوکی بر پایه‌ی هیدروکسی بوتیرات و هیدروکسی آلکانوات (۹۳٪ وزنی) است که متصل به واحدهای تری‌متیل‌هگزامتیلن‌دی‌ایزو‌سیانات (TMDI) (۷٪ وزنی) می‌باشد (۲۶). نرخ تخریب BPUS متناسب با انتخاب ترکیب شیمیایی، می‌تواند بین چند هفته تا چند سال تنظیم شود. همچنین این پلی‌مر می‌تواند محدوده‌ی خواصی از بسیار الاستیک تا سفت و شکننده داشته باشد. اندازه‌ی تخلخل‌ها در این

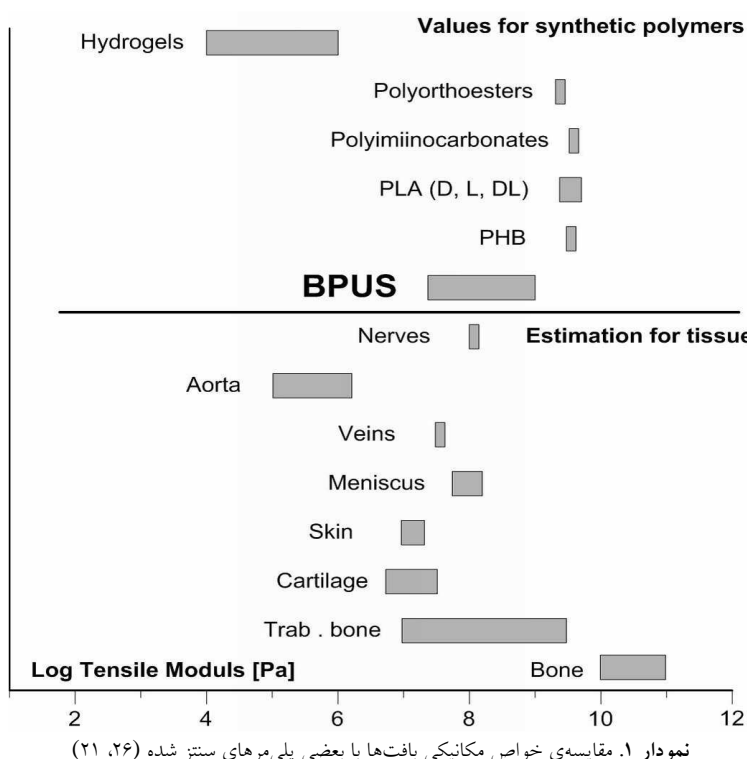
غضروف مفصلی بافتی بدون رگ است که از طریق نفوذ مواد مغذی از عروق خونی موجود در استخوان و انتقال آن توسط سیال سینویال تغذیه می‌شود (۱). به دلیل وجود فرآیند تغذیه‌ای آهسته، نقش گلوکز و به خصوص اکسیژن، در متابولیسم غضروف بسیار حساس است.

کندروسیت‌های غضروف مفصلی در مقایسه با دیگر سلول‌ها، از اکسیژن کمی برای تغذیه‌ی خود استفاده می‌کنند (۲). بر اساس مطالعات انجام گرفته، غضروف مفصلی تنها ۲-۵٪ اکسیژن به ازای هر سلول مصرف می‌کند (۳). در واقع سلول‌های کندروسیت، از طریق گلوکز را مصرف و لاكتیت را تولید می‌کنند و در نتیجه موجب تولید (adenosine-tri-phosphate) ATP می‌شوند (۴-۵). بازده فرآیند غیرهوازی glycolysis (۴-۵) مول ATP به ازای یک مول گلوکز) بسیار کمتر از فرآیند هوازی glycolysis (۵ مول ATP به ازای یک مول گلوکز) می‌باشد (۴-۶). بنابراین می‌توان گفت که احتمال دارد شرایط عمومی کشت سلولی (۲۱٪ فشار جزئی اکسیژن)، متابولیسم مناسبی برای سلول‌های کندروسیت فراهم نکند.

از طرف دیگر، نقش اکسیژن در فیزیولوژی سلول‌های کندروسیت به طور کامل شناخته نشده است. غلظت اکسیژن می‌تواند در تخریب و آسیب غضروفی نقش مهمی داشته باشد (۷). تا کنون مطالعات بسیار زیادی در خصوص نقش اکسیژن پیرامون غضروف مفصلی انجام گرفته است (۸-۱۲). اما نکته‌ی قابل توجه آن است که بتوان با کنترل عوامل فیزیکو‌شیمیایی مثل فشار جزئی اکسیژن و pH، سرعت

روی دو داربست BPUS و آژینات (به عنوان ماده‌ای معروف برای مطالعه‌ی متابولیسم کندروسیت‌ها)، در شرایط مختلف فشار جزئی اکسیژن و pH، ارایه نموده است (۲۷). در این مطالعه نشان داده شد که زیست‌پذیری سلولی بر روی بسترها آژینات، در همه‌ی شرایط فیزیکوشیمیایی و بعد از سه روز کشت سلولی، بهتر از BPUS می‌باشد. در مطالعه‌ی مزبور، بهترین شرایط فیزیکوشیمیایی برای متابولیسم کندروسیت‌ها، برای هر دو داربست، فشار جزئی $\%5$ اکسیژن و $pH = 7/4$ بود. اما با توجه به آن که نتایج فوق تحت شرایط مختلف و با بررسی متابولیسم سلولی در فواصل زمانی طولانی‌تر باید به اثبات برسد، در این تحقیق به ارزیابی مقایسه‌ای متابولیسم سلول‌های کندروسیت مفصلی بر روی دو داربست BPUS و آژینات تحت شرایط مختلف فشار جزئی اکسیژن و pH پرداخته شده است.

پلی‌مر در حدود $50\text{--}300$ میکرومتر و حجم تخلخل‌ها در حدود 95% می‌باشد. شکل ۱، نمودار مقایسه‌ای از خواص بافت‌ها و بعضی پلی‌مرهای سنتزی را نشان می‌دهد. در این شکل مشخص است که BPUS در مقایسه با سایر پلی‌مرهای پزشکی، محدوده‌ی وسیعی از خواص مکانیکی را دارا است، به طوری که این خواص، به خواص مکانیکی غضروف نیز شبیه است. این مسئله می‌تواند به تنها‌ی یکی از دلایل برتری BPUS نسبت به سایر پلی‌مرهای، در مهندسی بافت غضروف مفصلی باشد. با بررسی مطالعات قبلی، هیچ گزارشی مبنی بر مطالعه‌ی اثر پارامترهای فیزیکوشیمیایی، مثل فشار جزئی اکسیژن و pH، بر متابولیسم کندروسیت‌های مفصلی بر روی داربست BPUS مشاهده نشد. لازم به ذکر است که گروه تحقیقاتی ما به تازگی مطالعه‌ای مقایسه‌ای بین زیست‌پذیری سلولی (cell viability) کندروسیت‌ها بر



مدت یک شب در آب مقطر غوطه‌ور شده، سپس تحت خلاً قرار گرفتند تا کل گاز از داخل نمونه‌ها خارج شود. البته قبل از شروع کشت سلولی نیز، نمونه‌ها به مدت یک شب در محیط کشت غوطه‌ور شدند تا به طور کامل عاری از گاز اتیلن‌اکساید گردند.

برای تهیهٔ بسترهای آژینات (alginate beads) به عنوان داربست کشت کندروسیت‌ها، ابتدا محلول آژینات٪۰/۹ (Fluka, Biochemica) در محلول٪۱/۲ NaCl با هم‌زنن در دمای بالای ۳۰ درجهٔ سانتی‌گراد آماده‌سازی شد (۲۰). این هم‌زنن توسط هم‌زنن مغناطیسی و به مدت ۱-۲ ساعت انجام گرفت تا ذرات آژینات به خوبی در محلول NaCl حل شوند. برای استریل کردن محلول آژینات، از فیلترهای استریل ۰/۲۲ میکرومتر در زیر هود استریل، استفاده شد.

۳. کشت سلولی:

برای کشت سلولی دو داربست، از دو روش مختلف استفاده شد. برای کشت سلولی سلول‌های کندروسیت بر روی داربست‌های BPUS، ابتدا نمونه‌ها در کف پلیت‌های کشت سلولی و سپس به منظور ایجاد چسبندگی، ۰/۱ میلی‌لیتر از سوپراسپانسیون سلولی با غلاظت^۹ ۴×۱۰ سلول در میلی‌لیتر بر روی سطح هر نمونه BPUS قرار داده شد (۲۲). پس از ۲ ساعت کشت، تحت شرایط مختلف فیزیکوشیمیایی، محیط کشت تعویض و ۲ میلی‌لیتر محیط کشت جدید به نمونه‌ها اضافه شد و دوباره نمونه‌ها تحت شرایط قبلی در داخل انکوباتور قرار گرفت. لازم به ذکر است که محیط کشت مورد استفاده در تمام آزمایش‌های کشت سلولی شامل DMEM v/v٪۶ FBS v/v٪۱ AA v/v٪۰/۱ بود.

برای کشت سلول‌های کندروسیت بر روی

روش‌ها

۱. جداسازی سلول‌های کندروسیت:

جداسازی سلول‌های کندروسیت از مفصل Metacarpophalangeal پای گوساله‌های ۶-۹ ماهه انجام گرفت (۲۳، ۲۴). روش کار به این ترتیب بود که پس از بریدن پای حیوان و ضد عفونی کردن آن، بافت غضروفی از محل مفصلی جدا و در محیط تغذیه ریخته شد و به مدت ۲۴ ساعت در داخل انکوباتور و در دمای ۳۷ درجهٔ سانتی‌گراد قرار گرفت تا بافت تغذیه و سلول‌ها جداسازی شود. محیط کشت تغذیه شامل ترکیبات زیر بود:

DMEM (Dulbecco's Modified Eagle's Medium, Gibco BRL)

6% v/v FBS (Fetal Bovine Serum, Gibco BRL)

1% v/v AA (Antibiotic-Antimycotic (Penicillin/Streptomycin), Gibco BRL)

0.6 mg/mL collagenase (Gibco BRL)

پس از جداسازی سلول‌های کندروسیت توسط فیلترهای بافتی (tissue filters) و سانتریفوژ کردن آن‌ها در دور ۲۰۰۰ به مدت ۵ دقیقه، سلول‌ها برای کشت سلولی آماده شد.

۲. آماده سازی نمونه‌ها:

قبل از انجام کشت سلولی، ابتدا دو داربست BPUS و آژینات آماده‌سازی و استریل شد. داربست‌های BPUS با قطر ۱۵ و ضخامت ۱ میلی‌متر از مرکز تحقیقات پلی‌مر دانشگاه زوریخ سویس خریداری شدند. مقدار تخلخل در این نمونه‌ها در حدود ۹۵٪ و اندازهٔ آن‌ها ۳۰۰-۵۰۰ میکرومتر بود. مدلول الاستیک این داربست نیز در حدود ۴۰ MPa بود. برای استریل نمودن این نمونه‌ها از روش گاز اتیلن‌اکساید (ethylene oxide) استفاده شد (۲۳، ۲۵-۲۶). به این ترتیب که پس از قراردادن نمونه‌ها تحت گاز اتیلن‌اکساید، نمونه‌ها به

بود. برای محاسبه‌ی مقدار لاکتیت تولید شده، پس از یک روز کشت سلولی تحت شرایط مورد نظر (شرایط فیزیکی مشخص)، محیط کشت تعویض و مقدار $0.5 \text{ ml}/\text{liter}$ محیط جدید، به ازای هر نمونه‌ی موجود در هر خانه، جایگزین محیط کشت قبلی شد و پس از ۴ ساعت کشت سلولی تحت شرایط مورد نظر، $0.5 \text{ ml}/\text{liter}$ اپندورف (eppendorff) ریخته شد و سپس $2 \text{ ml}/\text{liter}$ محیط کشت جدید به هر خانه افزوده گردید. این کار در روزهای دوم و سوم کشت سلولی نیز تکرار شد. سپس مقدار $10 \text{ }\mu\text{l}$ میکرولیتر از $0.5 \text{ ml}/\text{liter}$ محیط کشت موجود در هر اپندورف به ازای هر نمونه، به خانه‌های پلیت‌های 96 تایی منتقل و سپس مقدار $100 \text{ }\mu\text{l}$ میکرولیتر lactate reagent (Sigma) نیز به هر خانه افزوده شد و سپس شدت جذب در طول موج 540 nm توسط دستگاه ELIZA(JENCONS, UK) اندازه‌گیری شد. در این قسمت برای محاسبه‌ی مقدار لاکتیت، نیاز به منحنی استاندارد بود. لذا محلول‌های لاکتیت خالص با درصدهای $0.1, 1/5, 2, 3, 4$ و 5 mM در محیط کشت آماده شد. سپس مشابه آنچه که در بالا به آن اشاره شد، مقدار $10 \text{ }\mu\text{l}$ میکرولیتر از هر نمونه به خانه‌های پلیت‌های 96 تایی منتقل و سپس $100 \text{ }\mu\text{l}$ میکرولیتر lactate reagent نیز به هر کدام از این نمونه‌ها افزوده و شدت جذب در طول موج 540 nm اندازه‌گیری شد. در نهایت منحنی شدت جذب بر حسب مقدار لاکتیت هر نمونه رسم و از معادله‌ی خط همتراز شده بر این منحنی، مقادیر لاکتیت تولید شده در نمونه‌های اصلی محاسبه شد. لازم به ذکر است که در این آزمایش‌ها از نمونه‌های بدون لاکتیت (با سلول‌های مرده و بدون سلول) نیز به عنوان کنترل استفاده شد و تکرار پذیری

داربست‌های آژینات، ابتدا محلول سوسپانسیون سلول آژینات با غلظت سلولی $4 \times 10^6 \text{ cell/ml}$ آماده سازی شد (۲۰). سپس این سوسپانسیون به یک سرنگ با سرسوزن 22 میلیمتری و در محلول استریل 102 mM کلرید کلسیم چکانده شد تا بسترها آژینات حاصل شوند. سپس محلول کلرید کلسیم از بسترها تشکیل شده جدا و $3-4$ بار توسط کلرید سدیم $0.9\% \text{ /ast} \text{ /ast}$ استریل و DMEM شستشو شد. در نهایت بسترها آژینات سلولی به تعداد مساوی بین خانه‌های پلیت‌های کشت سلولی تقسیم و $2 \text{ ml}/\text{liter}$ محیط کشت به آنها اضافه شد و در انکوباتور تحت شرایط مختلف فیزیکوشیمیایی قرار گرفت.

۴. اثر فشار جزئی اکسیژن و pH

آزمایش‌ها در سه فشار جزئی اکسیژن $21\%, 21.5\%$ و 21.9% انجام گرفت. به طور خلاصه، نمونه‌های BPUS و آژینات بین سه پلیت کشت 6 خانه تقسیم شدند. در یک ستون از پلیت، $2 \text{ ml}/\text{liter}$ محیط کشت با $pH=7/4$ و در ستون دیگر $2 \text{ ml}/\text{liter}$ محیط کشت با $pH=6/5$ افزوده شد. سپس پلیت‌ها در محفظه‌ی اکسیژن قرار گرفت و به هر یک از آنها فشار جزئی مورد نظر، با کنترل میزان ورود اکسیژن، اعمال شد. در نهایت، هر یک از محفظه‌ها به همراه پلیت موجود در آن در داخل انکوباتور قرار داده شدند. لازم به ذکر است، که محیط کشت هر روز تحت شرایط فوق با محیط کشت جدید جایگزین می‌شد.

۵. اندازه‌گیری لاکتیت و نرخ تولید آن:

برای محاسبه‌ی مقدار لاکتیت تولید شده توسط سلول‌های کندروسیت در فواصل زمانی مختلف، از روش lactate assay استفاده شد (۱۳). روش کار برای داربست‌های BPUS و آژینات یکسان و به شرح زیر

از نمونه‌های تغذیه شده به لوله‌های مخصوص (cuvette) اسپکتروفوتومتر منتقل و به ازای هر نمونه مقدار ۱ میلی‌لیتر رنگ DMMB به آنها اضافه گردید و شدت جذب در طول موج ۵۹۵ نانومتر اندازه‌گیری شد. منحنی استاندارد نیز به روش مشابه به دست آمد و در نهایت مقدار GAG تولید شده بر روی هر داربست محاسبه گردید. لازم به ذکر است، که در این آزمایش‌ها از نمونه‌های بدون GAG (با سلول‌های مرده و بدون سلول) نیز به عنوان کنترل استفاده شد و تکرارپذیری تمام آزمایش‌ها در هر مرحله با ۹ آزمایش بر روی هر نمونه مورد ارزیابی قرار گرفت.

۷. آنالیز آماری:

محاسبات آماری با آزمون‌های آماری ANOVA و student t-test و توسط نرم‌افزار SPSS نسخه‌ی ۱۰ (version 10; SPSS Inc., Chicago, IL) در این محاسبات، سطح معنی‌داری آزمون‌ها، p-value کمتر از ۰/۰۵، در نظر گرفته شد.

یافته‌ها

۱. لاکتیت و نرخ تولید لاکتیت

معادلات به دست آمده از منحنی استاندارد لاکتیت، برای BPUS و آژینات متفاوت بود. این معادلات برای محاسبه‌ی مقدار لاکتیت تولید شده و با توجه به شدت جذب حاصله توسط دستگاه ELIZA به کار می‌رود. در این معادلات، یک رابطه‌ی خطی بین تولید لاکتیت و شدت جذب در طول موج ۵۴۰ نانومتر وجود داشت.

$$\text{برای BPUS} \quad Y = 0.1913X + 0.0361 \quad (2)$$

$$\text{برای آژینات} \quad Y = 0.2995X + 0.3441 \quad (3)$$

همان‌گونه که در شکل‌های ۲ و ۳ نشان داده شده است، اختلاف قابل ملاحظه‌ای بین مقدار لاکتیت تولید شده در $pH = 6/5$ و $pH = 7/4$ برای هر دو داربست

تمام آزمایش‌ها در هر مرحله با ۹ آزمایش بر روی هر نمونه مورد ارزیابی قرار گرفت.

برای بررسی نرخ تولید لاکتیت نیز، برای هر دو داربست BPUS و آژینات، از فرمول ۱ استفاده شد.

$$= \text{Rate of lactate production} \frac{L \times V}{C \times t}$$

در این رابطه L مقدار میانگین لاکتیت تولید شده به ازای هر نمونه (mmole)، V حجم محیط کشت در هر خانه‌ی پلیت کشت سلولی (میلی‌لیتر)، C دانسیتی‌ی سلولی به ازای هر نمونه (10^6) و t زمان کشت سلولی برای اندازه‌گیری مقدار لاکتیت (ساعت) بود.

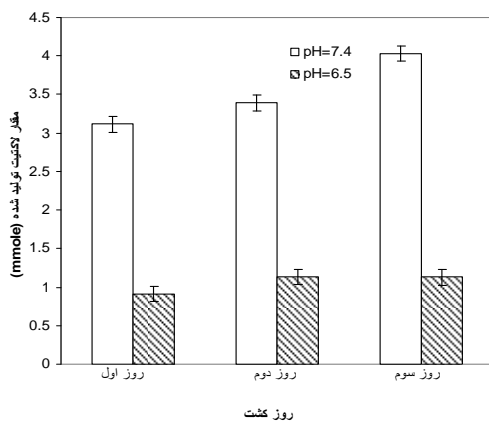
۲. اندازه‌گیری مقدار گلایکوسامینوگلایکن (GAG):

مقدار GAG تشکیل شده بر روی هر دو نوع داربست، به روش DMMB assay اندازه‌گیری شد (۲۸). رنگ DMMB یک رنگ به شدت متاکروماتیک می‌باشد که روش دقیق و تکرارپذیری برای محاسبه‌ی هیستوشیمیایی GAG در غضروف می‌باشد. برای محاسبه‌ی GAG به این روش، ابتدا رنگ DMMB (dimethylmethylen blue, ALDRICH) تهیه و سپس تغذیه‌ی نمونه‌ها در محلول papain انجام شد؛ در نهایت استانداردسازی و اندازه‌گیری GAG توسط اسپکتروفوتومتر صورت گرفت.

برای اندازه‌گیری مقدار GAG تولید شده در روزهای سوم، هفتم و چهاردهم کشت سلولی در شرایط مختلف فشار جزئی اکسیژن و pH، داربست‌ها به طور جداگانه و به مدت یک شب در محلول papain در دمای ۶۰–۶۵ درجه‌ی سانتی‌گراد قرار داده شدند. ۲۰ mM محلول papain با مخلوط کردن ۲ mM EDTA (Sigma) ۱ mM PBS(pH=6.8) ۳۰۰ میکروگرم در میلی‌لیتر papain و dithiothreitol ۱۰ mM Cysteine تهیه شد. سپس مقدار ۲۰ میکرولیتر

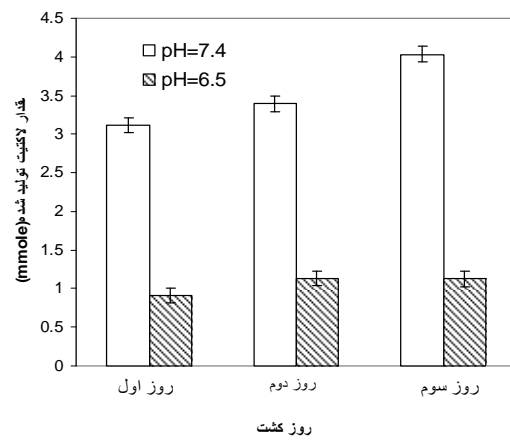
به آن معنی است که بیشترین مقدار لاكتیت تولید شده مربوط به شرایط بهینه‌ی فشار جزئی اکسیژن می‌باشد که با گذشت زمان افزایش می‌یابد. به عبارت دیگر، تغییر در فشار جزئی اکسیژن باعث تغییر حجم سلول و در نتیجه تغییر متابولیسم سلولی می‌گردد (۹-۱۱).

نرخ تولید لاكتیت، با داشتن مقدار لاكتیت تولید شده، از معادله‌ی (۱) قابل محاسبه می‌باشد. نتایج نشان داد که بیشترین نرخ لاكتیت در $pH = 7/4$ و 5% اکسیژن می‌باشد. نمودارهای ۶ و ۷ نشان می‌دهد که نرخ تولید لاكتیت برای هر دو داربست و در $pH = 7/4$ با گذشت زمان افزایش قابل ملاحظه‌ای می‌یابد (۹). همچنان نمودارهای ۸ و ۹ نشان می‌دهد که فشار جزئی 5% اکسیژن، بهترین شرایط متابولیسم برای هر دو داربست را فراهم می‌کند ($P < 0/05$). در این نمودارها مشخص است که در فشار جزئی 21% اکسیژن، نرخ تولید لاكتیت قابل مقایسه با فشار 5% نیست. از طرف دیگر در شرایط 1% اکسیژن، نرخ تولید لاكتیت برای هر دو داربست و بعد از سه روز کشت سلولی، افزایش نمی‌یابد که این مسئله نشان از عدم شرایط فیزیولوژیک مناسب برای متابولیسم سلولی دارد.



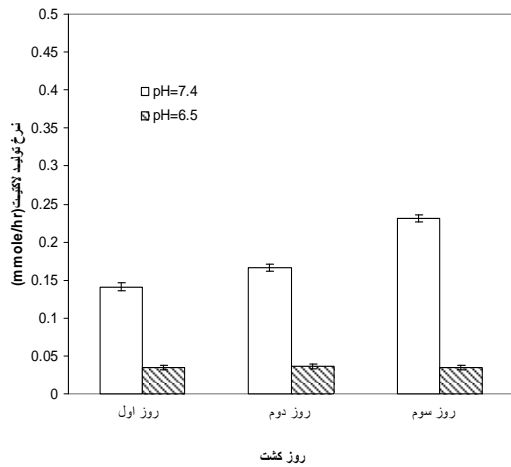
نمودار ۲. اثر pH بر تولید لاكتیت برای داربست BPUS در درصد اکسیژن و O_2 ثابت ($380 z$) و osmolarity = 380 mmole/L ($n = 9$, $P < 0/01$, SD ± mean)

مشاهده می‌شود ($P < 0/001$). این به آن معنی است که $pH = 7/4$ ، شرایطی فیزیولوژیک را برای متابولیسم سلولی بر روی هر دو داربست فراهم می‌کند. به عبارت دیگر، سلول‌های کندروسیت در این شرایط بیشتری تولید کرده، موجب تکثیر سلولی سریع‌تر می‌شوند. از طرف دیگر، در نمودارهای ۲ و ۳ مشاهده می‌شود که با گذشت زمان، میزان تولید لاكتیت در $pH = 6/5$ افزایش می‌یابد. در حالی که در $pH = 6/5$ نه تنها مقدار لاكتیت تولید شده با گذشت زمان افزایش نمی‌یابد، بلکه کاهش نیز پیدا می‌کند. به طور کلی، کاهش pH موجب کاهش حجم سلول و در نتیجه اختلال در متابولیسم طبیعی سلول و انتقال نامناسب یون‌هایی مثل گلوکز به سلول شده، مقدار لاكتیت تولید شده را کاهش می‌دهد (۱۳).

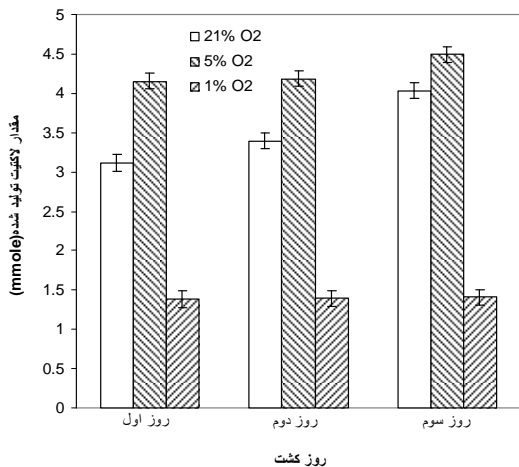


نمودار ۳. اثر pH بر تولید لاكتیت برای داربست آلتینات در درصد اکسیژن ۵٪ و O_2 ثابت ($380 z$) و osmolarity = 380 mmole/L ($n = 9$, $P < 0/001$, SD ± mean)

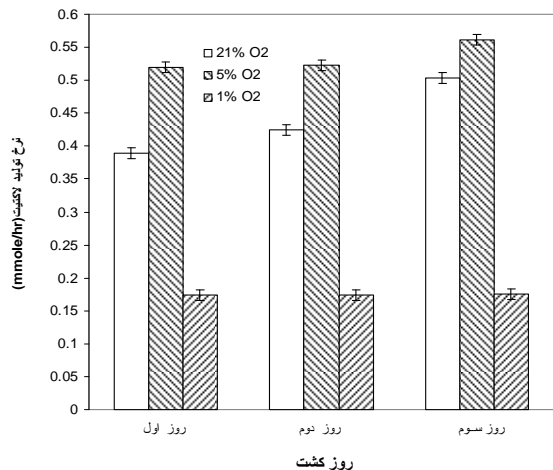
در نمودارهای ۴ و ۵، اثر فشار جزئی اکسیژن بر مقدار لاكتیت تولید شده بر روی دو داربست نشان داده شده است. در این نمودارها، بیشترین مقدار لاكتیت تولید شده مربوط به 5% اکسیژن می‌باشد، که اختلاف قابل ملاحظه‌ای با دیگر شرایط دارد ($P < 0/01$). این



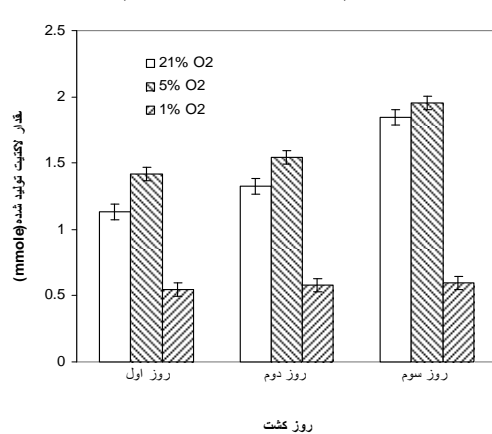
نمودار ۷. اثر pH بر نرخ تولید لاکتیت برای داربست BPUS در شرایط درصد osmolarity = ۳۸۰ و ثابت (O₂٪ = ۲۱) و pH ثابت (n = ۹, P < ۰/۰۱, SD ± mean)



نمودار ۴. اثر فشار جزئی اکسیژن (oxygen tension) بر تولید لاکتیت برای داربست آنزینات در pH و osmolarity ثابت (osmolarity = ۳۸۰ و pH = ۷/۴) (n = ۹, P < ۰/۰۱, SD ± mean)



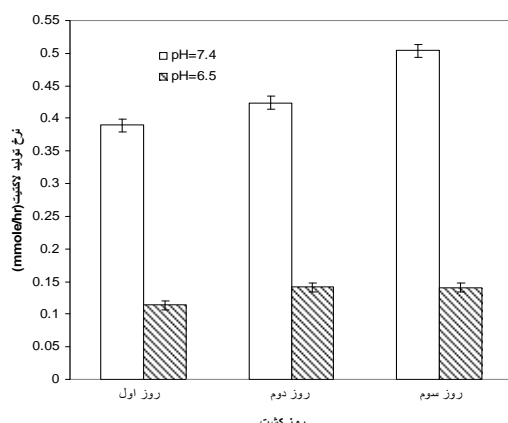
نمودار ۸ اثر فشار جزئی اکسیژن (oxygen tension) بر نرخ تولید لاکتیت برای داربست آنزینات در شرایط pH و osmolarity ثابت (pH = ۷/۴ و osmolarity = ۳۸۰) (n = ۹, P < ۰/۰۵, SD ± mean)



نمودار ۵. اثر فشار جزئی اکسیژن (oxygen tension) بر تولید لاکتیت برای داربست BPUS در pH و osmolarity ثابت (osmolarity = ۳۸۰ و pH = ۷/۴) (n = ۹, P < ۰/۰۱, SD ± mean)

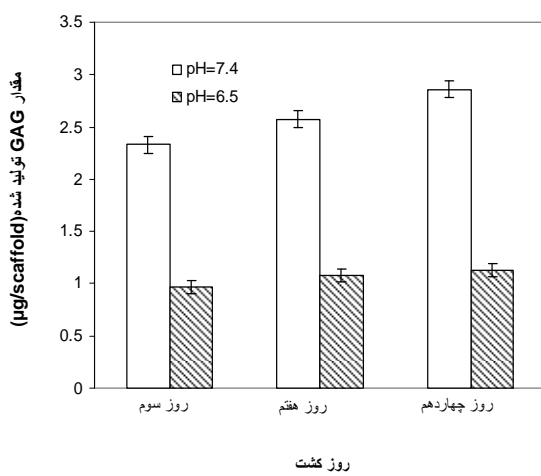
۲. مقدار گلایکوسامینوگلایکن (GAG) تولید شده:
در این تحقیق، معادله‌ی به‌دست آمده از منحنی استاندارد GAG برای محاسبه‌ی مقدار GAG تولید شده برای هر دو داربست، یکسان بود. در این معادله، بین مقدار کندرولایتین‌سولفات (CS) و شدت جذب در طول موج ۵۹۵ نانومتر رابطه‌ی خطی وجود دارد.

$$Y = 0.0056X + 0.3318 \quad (4)$$

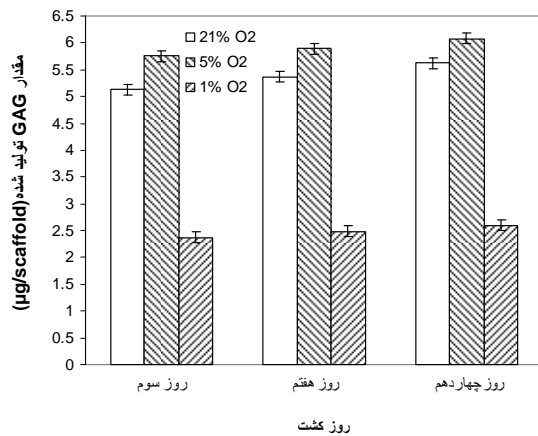


نمودار ۶ اثر pH بر نرخ تولید لاکتیت برای داربست آنزینات در شرایط درصد اکسیژن و osmolarity ثابت (O₂٪ = ۲۱) و pH ثابت (osmolarity = ۳۸۰) (n = ۹, P < ۰/۰۱, SD ± mean)

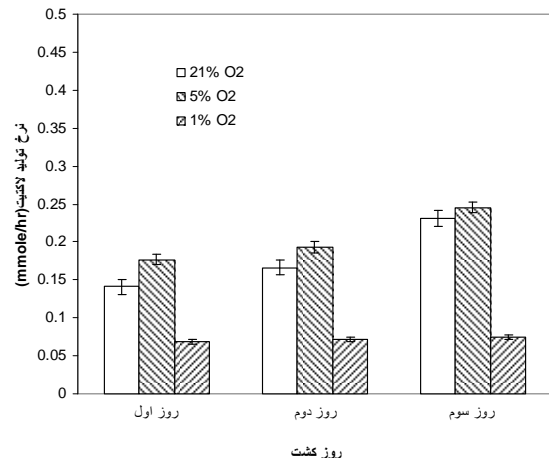
می‌باشد. در نمودارهای ۱۲ و ۱۳ نیز، در شرایط ۵٪ اکسیژن و با گذشت زمان کشت سلولی، مقدار GAG تولید شده بر روی هر دو داربست افزایش قابل ملاحظه‌ای پیدا می‌کند ($P < 0.05$). این نتایج حاکی از آن است که تغییر pH و فشار جزئی اکسیژن، باعث تغییر حجم سلول و در نتیجه، متابولیسم سلولی بر روی دو داربست می‌گردد که البته بهترین شرایط متابولیسم مربوط به $pH = 7/4$ و فشار جزئی ۵٪ اکسیژن می‌باشد.



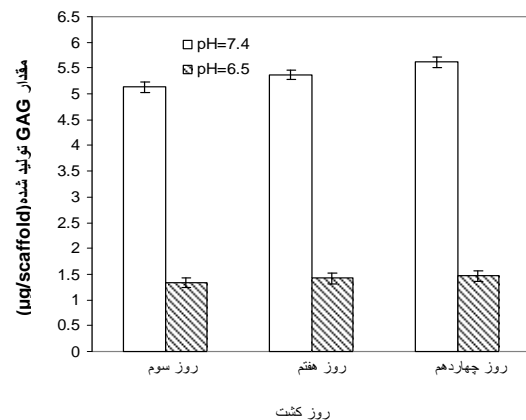
نمودار ۱۱. اثر pH بر تولید GAG برای داربست BPUS در شرایط درصد اکسیژن و osmolarity ثابت (21O_2 و 380) در شرایط $\text{pH} = 7/4$ و 6.5 . ($n = 9$, $P < 0.05$, SD ± mean)



نمودار ۱۲. اثر فشار جزئی اکسیژن (oxygen tension) بر تولید GAG برای داربست آثربینات در شرایط pH 7.4 و osmolarity ثابت (21O_2 و 380). ($n = 9$, $P < 0.05$, SD ± mean)



نمودار ۹. اثر فشار جزئی اکسیژن (oxygen tension) (oxygentension) بر نرخ تولید لاتکتیت برای داربست BPUS در شرایط pH و osmolarity ثابت ($\text{pH} = 7/4$ و osmolarity = 380). ($n = 9$, $P < 0.05$, SD ± mean)



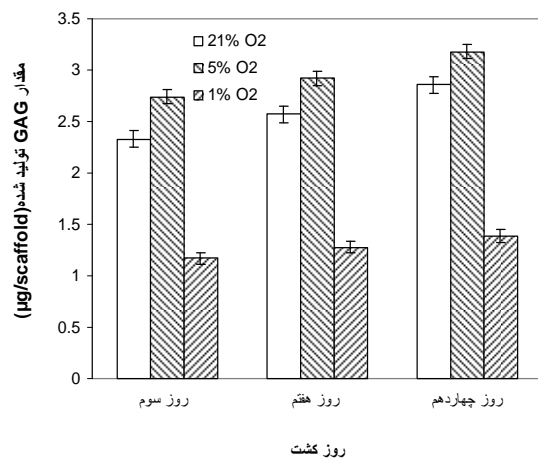
نمودار ۱۰. اثر pH بر تولید GAG برای داربست آثربینات در شرایط درصد اکسیژن و osmolarity ثابت (21O_2 و 380) در شرایط $\text{pH} = 7/4$ و 6.5 . ($n = 9$, $P < 0.05$, SD ± mean)

در این بخش نیز، نتایج حاکی از آن بود که بیشترین مقدار GAG تولید شده برای هر دو داربست، در زمانهای مختلف کشت سلولی، مربوط به $pH = 7/4$ و فشار جزئی ۵٪ اکسیژن می‌باشد. نمودارهای ۱۰ و ۱۱ نشان می‌دهند که مقدار GAG تولید شده بر روی هر دو داربست و با گذشت زمان، در $pH = 7/4$ افزایش می‌یابد ($P < 0.05$). البته هر چند که این افزایش بر روی نمودار چندان زیاد نیست، اما نشان دهنده‌ی افزایش یکنواخت متابولیسم سلولی با گذشت زمان

سلولی و در نتیجه تغییر مکانیزم انتقال یون‌های تغذیه‌ای به داخل سلول و بر عکس شده، در متابولیسم سلولی تأثیر بگذارد (۲۸). لذا در pH پایین و فشار اکسیژن غیرفیزیولوژیک، تغذیه‌ی سلول مختلط و متابولیسم کم‌تر می‌شود و در نتیجه تولید لاکتیت و GAG کاهش می‌یابد. نتایج حاصل از کشت سلولی دو بعدی (monolayer) نیز نتایج این تحقیق را تأیید می‌کند (۲۹). مطالعات بر روی داربست پلی‌گلایکولیک اسید (PGA) نیز نشان داد که تا ۲۱ روز کشت سلولی و بدون کنترل دقیق pH، بهترین شرایط متابولیسم کندروسیت‌ها در ۰.۵٪ اکسیژن حاصل می‌شود (۳۰). البته لازم به ذکر است که بررسی اثر متقابل فشار جزئی اکسیژن و pH بر روی متابولیسم کندروسیت‌ها در هیچ مقاله‌ای مورد بررسی قرار نگرفته است و تحقیق حاضر، از این لحاظ دارای نوآوری می‌باشد.

از طرف دیگر، امروزه در مهندسی بافت غضروف، برای بازسازی بافت آسیب دیده، از داربست‌های سه بعدی بر پایه‌ی پلی‌مر استفاده می‌شود تا سلول بر روی آن متابولیسم انجام داد، بافت جدید تشکیل دهد (۳۱). در این سیستم سلول پلی‌مر، با کنترل عوامل فیزیکی و بیوشیمیایی مختلف که بر عملکرد سلول و رشد بافت جدید تأثیرگذار هستند، شرایط بهینه‌ای برای مهندسی بافت مورد نظر فراهم می‌شود. لذا در این مطالعه، مقایسه‌ای بین دو داربست BPUS و آلتینات در میزان تأثیرگذاری بر متابولیسم کندروسیت‌ها انجام گرفت. نتایج به دست آمده نشان داد که متابولیسم سلولی در همه‌ی شرایط، بر روی داربست آلتینات بهتر از داربست BPUS است. نمودار ۱۴ نشان می‌دهد که مقدار لاکتیت تولید شده در شرایط یکسان pH و فشار جزئی اکسیژن، برای داربست آلتینات بیشتر

از مجموع نتایج به دست آمده چنین بر می‌آید که بهترین شرایط متابولیسم در هر pH و فشار جزئی اکسیژن، مربوط به آلتینات است که این مسئله به ماهیت خواص فیزیکی ماده بر می‌گردد که در بخش بحث به آن پرداخته خواهد شد.

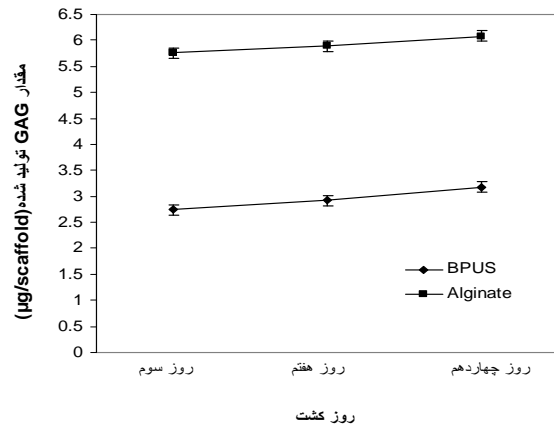


شکل ۱۳. اثر فشار جزئی اکسیژن (oxygen tension) بر تولید GAG برای داربست BPUS در شرایط osmolarity و pH ثابت ($pH = ۷/۴$ و $osmolarity = ۳۸۰$) ($n = ۹$, $P < ۰.۰۵$ SD \pm mean)

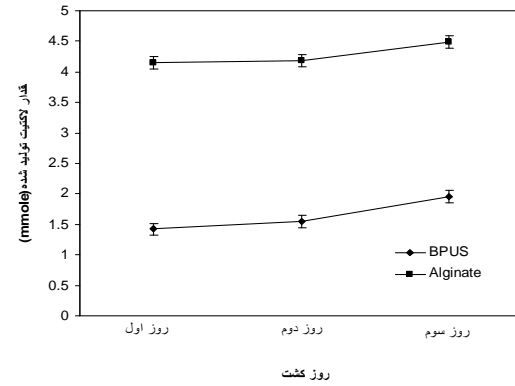
بحث

یکی از عوامل فیزیکوشیمیایی بسیار تأثیرگذار در متابولیسم سلول‌های کندروسیت، اکسیژن می‌باشد (۲۸). در این تحقیق، نتایج به دست آمده نشان می‌دهند که عوامل فیزیکوشیمیایی مثل فشار جزئی اکسیژن و pH به طور همزمان، می‌توانند متابولیسم سلولی را تغییر دهند. در واقع، عوامل فیزیکوشیمیایی می‌توانند مقدار تولید لاکتیت و GAG توسط سلول‌های کندروسیت را، بدون وابسته بودن به نوع داربست، تغییر دهند. در این تحقیق مشخص شد که بهترین شرایط برای متابولیسم کندروسیت‌های مفصلی در $pH=۷/۴$ و ۰.۵٪ اکسیژن می‌باشد. به نظر می‌رسد که تغییر در pH و مقدار اکسیژن محیط کشت، می‌تواند موجب تغییر در حجم

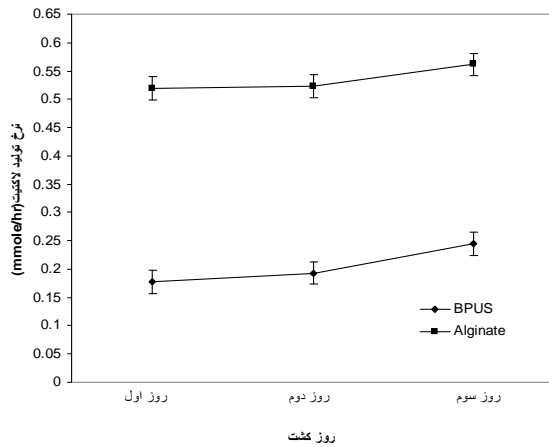
است ($P < 0.001$). برای نرخ تولید لاکتیت و میزان GAG تولید شده بر روی دو داربست نیز، همین نتیجه حاصل شد (نمودارهای ۱۵ و ۱۶) ($P < 0.001$). این نتایج حاکی از آن است که عواملی، موجب این اختلاف متابولیسم بر روی داربست آژینات نسبت به BPUS گردیده است. یکی از این عوامل، آب‌دوستی بسیار خوب آژینات است. این خاصیت موجب توزیع و تغذیه‌ی مناسب سلول‌ها می‌گردد، چرا که سلول‌ها تحت این شرایط، قابلیت انتقال یون‌ها و سایر مواد BPUS را به محیط کشت دارند (۲۸). اما آب‌دوست نیست، بلکه شامل تخلخل‌های به هم پیوسته می‌باشد که می‌تواند به متابولیسم و تغذیه‌ی سلولی کمک کند. در شرایط کشت سلولی استاتیک، سلول‌ها تنها بر روی سطح داربست نشانده می‌شوند. بنابراین در داربست‌هایی نظیر BPUS که آب‌دوست نبوده، تنها متخلخل هستند، سلول‌ها نمی‌توانند به صورت یکنواخت در همه جای داربست و از جمله داخل آن توزیع شوند. همچنین بعضی از سلول‌ها به آرامی به داخل تخلخل‌ها وارد می‌شوند، اما به دلیل شرایط موجود در کشت سلولی استاتیک، اجزای محیط کشت نمی‌توانند در تغذیه‌ی سلول‌های وارد شده به درون تخلخل‌ها، نقش خود را به خوبی ایفا کنند و در نتیجه این سلول‌ها می‌میرند. بنابراین در داربست‌های سختی مثل BPUS که آب‌دوست نبوده، فقط متخلخل می‌باشند، بهترین روش برای افزایش متابولیسم سلولی، استفاده از روش‌هایی است که بتواند سلول‌ها را در همه جای داربست توزیع و تغذیه نماید. یکی از این روش‌ها، کشت سلولی نفوذی است (Culture Perfusion). در این روش کشت سلولی، سلول‌ها به همراه محیط کشت و به آرامی به داخل تخلخل‌ها نفوذ



نمودار ۱۶. مقایسه‌ی مقدار GAG تولید شده برای دو داربست آژینات و BPUS در شرایط یکنواخت و ثابت ($\%21O_2$, osmolarity = 380 , pH = $7/4$)
(n = ۹, P < 0.05, SD ± mean)



نمودار ۱۴. مقایسه‌ی مقدار لاکتیت تولید شده برای دو داربست آژینات و BPUS در شرایط یکنواخت و ثابت ($\%21O_2$, osmolarity = 380 , pH = $7/4$)
(n = 9, P < 0.05, SD ± mean)



نمودار ۱۵. مقایسه‌ی نرخ لاکتیت تولید شده برای دو داربست آژینات و BPUS در شرایط یکنواخت و ثابت ($\%21O_2$, osmolarity = 380 , pH = $7/4$)
(n = 9, P < 0.05, SD ± mean)

و خارج از سلول گردد. بنابراین، بهینه‌سازی شرایط فشار جزئی اکسیژن و pH می‌تواند باعث بهینه شدن فرآیند glycolysis در غضروف شود. بهترین شرایط برای متابولیسم سلول‌های کندروسیت مفصلی در فشار جزئی ۵٪ اکسیژن و $pH = 7/4$ به دست آمد. از طرف دیگر مشخص شد که آب‌دوستی بیشتر آژینات نسبت به BPUS می‌تواند باعث توزیع بهتر و تغذیه‌ی مناسب‌تر سلول‌ها در شرایط مختلف فیزیکوشیمیایی شود؛ چرا که این آب‌دوستی موجب انتقال بهتر مواد مغذی به سلول‌ها شده، عاملی برای بهتر بودن متابولیسم سلول‌ها بر روی آژینات می‌باشد. اما با توجه به خواص مکانیکی نزدیک BPUS به غضروف مفصلی، انتخاب روش‌های دیگر کشت مثل کشت نفوذی (Perfusion Culture)، به منظور افزایش سرعت و میزان متابولیسم کندروسیت‌ها بر روی این داربست، می‌تواند در کارایی این داربست در مهندسی بافت غضروف مفصلی مؤثر باشد.

داده شده، غضروف طی یک سیکل چرخشی تغذیه می‌شود (۳۱). به نظر می‌رسد که این روش بتواند نتایج حاصل در مورد BPUS را بهبود ببخشد که به عنوان پیشنهادی برای ادامه‌ی این تحقیق مطرح می‌شود. البته لازم به ذکر است که در یکی از تحقیقات اخیر ما، با بررسی اثر فشار هیدرواستاتیک بر متابولیسم سلول‌های کندروسیت بر روی دو داربست BPUS و آژینات مشاهده شد که با افزایش زمان کشت سلولی، روند متابولیسم بر روی داربست BPUS نسبت به آژینات به میزان قابل توجهی افزایش می‌یابد (۳۲). این یافته نشان می‌دهد که خواص مکانیکی بالاتر BPUS باعث تأثیر بیشتر بر متابولیسم کندروسیت‌ها تحت فشار هیدرواستاتیک می‌شود. لذا ادامه‌ی مطالعات بر روی این داربست می‌تواند منجر به کسب نتایج جالب توجه و کابردی شود.

در این تحقیق مشخص شد که تغییرات فشار جزئی اکسیژن و pH، می‌تواند باعث تغییر حجم سلول و در نتیجه تغییر در مکانیزم انتقال مواد مغذی به داخل

References

- Lee RB, Urban JP. Evidence for a negative Pasteur effect in articular cartilage. *Biochem J* 1997; 321(Pt1): 95-102.
- Lee RB, Urban JP. Functional replacement of oxygen by other oxidants in articular cartilage. *Arthritis Rheum* 2002; 46(12): 3190-200.
- Stockwell RA. Metabolism of Cartilage. In: Hall BK, Editor. *Cartilage: Structure, function, and biochemistry*. London: Academic Press; 1983: 253-62.
- Shapiro IM, Tokuoka T, Silverton SF. Energy metabolism in cartilage. In: Hall BK, Newman SA, Editors. *Cartilage molecular aspects*. New York: CRC Press; 1991. p. 97-130.
- Lee RB, Wilkins RJ, Razaq S, Urban JP. The effect of mechanical stress on cartilage energy metabolism. *Biorheology* 2002; 39(1-2): 133-43.
- Pullens RAA. Mechanical loading regimes affect glucose and lactate metabolism of chondrocytes. Part 2 of MSc Thesis. Eindhoven University of Technology, Faculty of Biomedical Engineering. 2004. p. 6-13.
- Cernanec J, Guilak F, Weinberg JB, Pisetsky DS, Fermor B. Influence of hypoxia and reoxygenation on cytokine-induced production of proinflammatory mediators in articular cartilage. *Arthritis Rheum* 2002; 46(4): 968-75.
- Brighton CT, Lane JM, Koh JK. In vitro rabbit articular cartilage organ model. II. ^{35}S incorporation in various oxygen tensions. *Arthritis Rheum* 1974; 17(3): 245-52.
- Henderson GE, Mason RM. Effect of oxygen tension on ^{35}S -glycosaminoglycan synthesis and UDP-sugar pool size in articular cartilage. *Biochem Soc Trans* 1991; 19(4): 364S.
- Ysart GE, Mason RM. Responses of articular cartilage explant cultures to different oxygen tensions. *Biochim Biophys Acta* 1994; 1221(1): 15-20.
- Clark CC, Tolin BS, Brighton CT. The effect of

- oxygen tension on proteoglycan synthesis and aggregation in mammalian growth plate chondrocytes. *J Orthop Res* 1991; 9(4): 477-84.
12. Nagel-Heyer S, Goepfert C, Adamietz P, Meenen NM, Portner R. Cultivation of three-dimensional cartilage-carrier-constructs under reduced oxygen tension. *J Biotechnol* 2006; 121(4): 486-97.
 13. Urban JP. The chondrocyte: a cell under pressure. *Br J Rheumatol* 1994; 33(10): 901-8.
 14. Buckwalter JA, Mankin HJ. Articular cartilage: tissue design and chondrocyte-matrix interactions. *Instr Course Lect* 1998; 47: 477-86.
 15. Freed LE, Hollander AP, Martin I, Barry JR, Langer R, Vunjak-Novakovic G. Chondrogenesis in a cell-polymer-bioreactor system. *Exp Cell Res* 1998; 240(1): 58-65.
 16. Obradovic B, Carrier RL, Vunjak-Novakovic G, Freed LE. Gas exchange is essential for bioreactor cultivation of tissue engineered cartilage. *Biotechnol Bioeng* 1999; 63(2): 197-205.
 17. Malda J, Woodfield TB, van d, V, Kooy FK, Martens DE, Tramper J, et al. The effect of PEGT/PBT scaffold architecture on oxygen gradients in tissue engineered cartilaginous constructs. *Biomaterials* 2004; 25(26): 5773-80.
 18. Buschmann MD, Gluzband YA, Grodzinsky AJ, Kimura JH, Hunziker EB. Chondrocytes in agarose culture synthesize a mechanically functional extracellular matrix. *J Orthop Res* 1992; 10(6): 745-58.
 19. Hauselmann HJ, Fernandes RJ, Mok SS, Schmid TM, Block JA, Aydelotte MB, et al. Phenotypic stability of bovine articular chondrocytes after long-term culture in alginate beads. *J Cell Sci* 1994; 107(Pt1): 17-27.
 20. Hardingham T, Tew S, Murdoch A. Tissue engineering: chondrocytes and cartilage. *Arthritis Res* 2002; 4(Suppl 3): S63-S68.
 21. Yang L, Korom S, Welti M, Hoerstrup SP, Zund G, Jung FJ, et al. Tissue engineered cartilage generated from human trachea using DegraPol scaffold. *Eur J Cardiothorac Surg* 2003; 24(2): 201-7.
 22. Saad B, Moro M, Tun-Kyi A, Welti M, Schmutz P, Uhlschmid GK, et al. Chondrocyte-biocompatibility of DegraPol-foam: in vitro evaluations. *J Biomater Sci Polym Ed* 1999; 10(11): 1107-19.
 23. Raimondi MT, Falcone L, Colombo M, Remuzzi A, Marinoni E, Marazzi M, et al. A comparative evaluation of chondrocyte/scaffold constructs for cartilage tissue engineering. *J Applied Biomat & Biomech* 2004; 1(2): 55-64.
 24. Saad B, Neuenschwander P, Uhlschmid GK, Suter UW. New versatile, elastomeric, degradable polymeric materials for medicine. *Int J Biol Macromol* 1999; 25(1-3): 293-301.
 25. Saad B, Keiser OM, Welti M, Uhlschmid GK, Neuenschwander P, Suter UW. Multiblock copolyesters as biomaterials: in vitro biocompatibility testing. *J Mater Sci Mater Med* 1997; 8(8): 497-505.
 26. Karbasi S, Mirzadeh H, Orang F, Urban JPG. A comparison between cell viability of chondrocytes on a biodegradable polyesterurethane scaffold and alginate beads in different oxygen tension and pH. *Iranian Polym J* 2005; 14(9): 823-30.
 27. Farndale RW, Buttle DJ, Barrett AJ. Improved quantitation and discrimination of sulphated glycosaminoglycans by use of dimethylmethylen blue. *Biochim Biophys Acta* 1986; 883(2): 173-7.
 28. Urban JP, Hall AC, Gehl KA. Regulation of matrix synthesis rates by the ionic and osmotic environment of articular chondrocytes. *J Cell Physiol* 1993; 154(2): 262-70.
 29. Hansen U, Schunke M, Domm C, Ioannidis N, Hassenpflug J, Gehrke T, et al. Combination of reduced oxygen tension and intermittent hydrostatic pressure: a useful tool in articular cartilage tissue engineering. *J Biomech* 2001; 34(7): 941-9.
 30. Kellner K, Liebsch G, Klimant I, Wolfbeis OS, Blunk T, Schulz MB, et al. Determination of oxygen gradients in engineered tissue using a fluorescent sensor. *Biotechnol Bioeng* 2002; 80(1): 73-83.
 31. Vunjak-Novakovic G, Obradovic B, Martin I, Bursac PM, Langer R, Freed LE. Dynamic cell seeding of polymer scaffolds for cartilage tissue engineering. *Biotechnol Prog* 1998; 14(2): 193-202.
 32. Karbasi S. Evaluation of the effects of hydrostatic pressure on metabolism of the articular chondrocytes seeded on biodegradable polyurethane as tissue engineering scaffold. *Journal of Isfahan Medical School* 2007; 25(8): 15-22.

Received: 2008.8.31

Accepted: 2009.3.8

A Comparative Study of Articular Chondrocytes Metabolism on a Biodegradable Polyesterurethane Scaffold and Alginate Beads in Different Oxygen Tension and pH

Saeed Karbasi PhD*

* Assistant Professor of Medical Physics and Biomedical Engineering, School of Medicine, Isfahan University of Medical Sciences, Isfahan, Iran.

Background:

Cartilage is a tissue with a low potency of self-repairing. One of the methods in increasing of regeneration and metabolism in cartilage, is stimulating physicochemical parameters on cell-polymer systems, as cartilage based cells. The cell-polymer system can be used to identify and control various biochemical and physical factors expected to influence cell function and tissue growth.

Methods:

Two physicochemical parameters, oxygen tension and pH, was changed to measure the lactate and rate of lactate production after 1, 2 and 3 days culture and GAG (glycosaminoglycan) production after 3, 7 and 14 days culture of chondrocytes on DegraPol®, as a biodegradable polyurethane scaffold (BPUS), and alginate scaffolds. The results finally were compared on both scaffolds.

Findings:

Physicochemical parameters like oxygen tension and pH could change cell metabolism. In fact, the physicochemical parameters could affect lactate production and GAG content of chondrocyte cells and it does not depend on the type of scaffold. The best condition of the articular chondrocytes metabolism was for 5% O₂ and pH = 7.4 (P < 0.001). The comparison between BPUS and alginate scaffold is showing that the results are better for alginate beads (P < 0.001).

Conclusion:

Oxygen and pH alterations could change the cell volume that cause changing of normal mechanism of transferring ions and other digesting solutes into the cells. Therefore, optimization of oxygen tension and pH could optimize glycolysis process in cartilage. Also, hydrophilicity of alginate causes better cell distribution and nutrition than BPUS.

Key words:

Chondrocyte, Physicochemical parameters, Polyesterurethane, Alginate, Tissue engineering.

Page count:

15

Tables:

-

Figures:

16

References:

31

Address of Correspondence:

Saeed Karbasi, Assistant Professor of Medical Physics and Biomedical Engineering, School of Medicine, Isfahan University of Medical Science, Isfahan, Iran.
E-mail: karbasi@med.mui.ac.ir